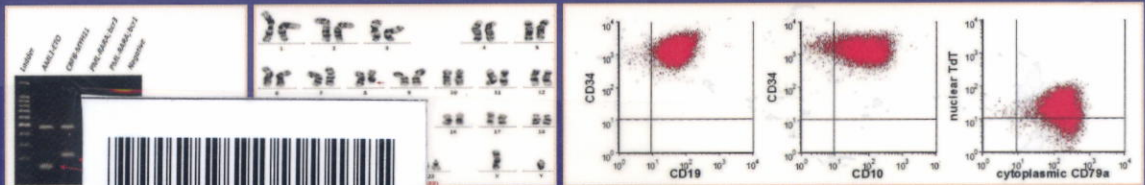




โรคมะเร็งเม็ดเลือดขาวในเด็ก Childhood Leukemia



B0003511

ห้องสมุดวทบ.นครราชสีมา

สามารถ ภาคกษมา



สารบัญ

บทที่ 1	อุบัติการณ์และปัจจัยเสี่ยงของโรคมะเร็งเม็ดเลือดขาวในเด็ก	1
	Incidence and Risk Factor of Childhood Leukemia	
บทที่ 2	การตรวจทางห้องปฏิบัติการเพื่อการวินิจฉัยโรคมะเร็งเม็ดเลือดขาว	13
	Laboratory Diagnosis for Leukemia	
บทที่ 3	การตรวจโครโมโซมในโรคมะเร็งเม็ดเลือดขาว	43
	Cytogenetics in Leukemia	
บทที่ 4	การตรวจพันธุกรรมระดับโมเลกุลในโรคมะเร็งเม็ดเลือดขาว	59
	Molecular Genetics in Leukemia	
บทที่ 5	โรคมะเร็งเม็ดเลือดขาวเฉียบพลันชนิดลิมโฟบลาสต์	81
	Acute Lymphoblastic Leukemia	
บทที่ 6	โรคมะเร็งเม็ดเลือดขาวเฉียบพลันชนิดมัยอีลอยด์	115
	Acute Myeloid Leukemia	
บทที่ 7	โรคมะเร็งเม็ดเลือดขาวเรื้อรังชนิดมัยอีลอยด์	153
	Chronic Myeloid Leukemia	
บทที่ 8	โรคมะเร็งเม็ดเลือดขาวชนิดมัยอีโลโมนอซัยติกในเด็ก	171
	Juvenile Myelomonocytic Leukemia	
บทที่ 9	เภสัชพันธุศาสตร์ในผู้ป่วยเด็กโรคมะเร็งเม็ดเลือดขาวเฉียบพลัน	183
	Pharmacogenomics in Childhood Acute Leukemia	
บทที่ 10	ภาวะฉุกเฉินในโรคมะเร็งเม็ดเลือดขาวเฉียบพลัน	207
	Emergencies in Acute Leukemia	
บทที่ 11	ผลข้างเคียงระยะยาวหลังการรักษาโรคมะเร็งเม็ดเลือดขาวเฉียบพลัน	225
	Late Effects After Treatment for Acute Leukemia	
ดัชนี		252
Index		257
อภิธานศัพท์ (ไทย - อังกฤษ)		269
อภิธานศัพท์ (อังกฤษ - ไทย)		274
คำย่อ		279
ภาพสีท้ายเล่ม		A1-A20



สารบัญตาราง

	หน้า	
ตารางที่ 2.1	ลักษณะของ lymphoblast ตามเกณฑ์ของ FAB classification	15
ตารางที่ 2.2	การกำหนดคะแนนตามลักษณะของ lymphoblast เพื่อแยกระหว่าง L1 และ L2 lymphoblast ตามเกณฑ์ของ FAB classification	17
ตารางที่ 2.3	ผลการตรวจอิมมูโนฟิโนทัยป์ในโรค AML	38
ตารางที่ 2.4	แนวทางการวินิจฉัยโรค My ⁺ ALL และ Ly ⁺ AML	39
ตารางที่ 2.5	แนวทางการวินิจฉัยโรคมะเร็งเม็ดเลือดขาวเฉียบพลัน biphenotypic โดย EGIL	40
ตารางที่ 3.1	ชนิดและการจัดกลุ่มของโครโมโซมตามขนาดและตำแหน่งของ centromere	47
ตารางที่ 3.2	คำย่อที่ใช้ในการเรียกความผิดปกติของโครโมโซมที่พบบ่อย	48
ตารางที่ 3.3	ข้อดีและข้อจำกัดของการตรวจความผิดปกติของโครโมโซมด้วยเทคนิค karyotype	52
ตารางที่ 3.4	ข้อดีและข้อจำกัดของการตรวจความผิดปกติของโครโมโซมหรือสารพันธุกรรมด้วยเทคนิค FISH	56
ตารางที่ 5.1	การประเมินผู้ป่วยและการส่งตรวจทางห้องปฏิบัติการในผู้ป่วยที่ได้รับการวินิจฉัยโรค ALL	85
ตารางที่ 5.2	การตรวจอิมมูโนฟิโนทัยป์เพื่อวินิจฉัยโรค ALL	86
ตารางที่ 5.3	ปัจจัยบอกการพยากรณ์โรคในผู้ป่วยเด็กโรค ALL	92
ตารางที่ 5.4	การแบ่งผู้ป่วยเพื่อการรักษาของสถาบันต่างๆ	93
ตารางที่ 6.1	การประเมินผู้ป่วยและการส่งตรวจทางห้องปฏิบัติการในผู้ป่วยที่ได้รับการวินิจฉัยโรค AML	118
ตารางที่ 6.2	ความผิดปกติของโครโมโซมที่พบบ่อยและลักษณะทางคลินิกในโรค AML	121
ตารางที่ 6.3	การแบ่งกลุ่มผู้ป่วยโรค AML เพื่อการรักษาของการศึกษาต่างๆ	126
ตารางที่ 6.4	ยาเคมีบำบัดในช่วง remission induction phase ของการศึกษาต่างๆ	129
ตารางที่ 6.5	การรักษาในช่วง post remission phase ของการศึกษาต่างๆ	132-133
ตารางที่ 6.6	สูตรการรักษาผู้ป่วยเด็กโรค APL ของสถาบันต่างๆ	137
ตารางที่ 7.1	เกณฑ์การวินิจฉัยโรค CML ระยะ accelerated และ blast phase	157
ตารางที่ 7.2	คำจำกัดความการตอบสนองต่อการรักษาโรค CML โดย ELN	159
ตารางที่ 7.3	คำจำกัดความการตอบสนองต่อยากกลุ่ม TKIs ที่ใช้เป็นยาชนิดแรก	160
ตารางที่ 8.1	Proposed juvenile myelomonocytic diagnostic criteria	176
ตารางที่ 9.1	ความหลากหลายของยีน TPMT ที่พบบ่อย	186
ตารางที่ 9.2	แนวทางการบริหารยา 6-mercaptopurine ตาม TPMT genotype	189



โรคมะเร็งเม็ดเลือดขาวในเด็ก
Childhood Leukemia

ตารางที่ 10.1	การแบ่งความเสี่ยงภาวะ tumor lysis syndrome	206
ตารางที่ 10.2	ค่าความผิดปกติของสารต่างๆ ในเลือดที่ใช้ในการวินิจฉัยภาวะ tumor lysis syndrome	210
ตารางที่ 10.3	เปรียบเทียบภาวะแทรกซ้อนในผู้ป่วยโรค ALL และ AML ที่มีภาวะจำนวนเม็ดเลือดขาวสูง	213
ตารางที่ 11.1	ผลข้างเคียงระยะยาวของยาเคมีบำบัดและการรักษาโรคมะเร็งเม็ดเลือดขาวในเด็กที่พบบ่อย และปัจจัยเสี่ยงต่อการเกิดผลข้างเคียง	228-229
ตารางที่ 11.2	การเปรียบเทียบขนาดยาของยาในกลุ่ม anthracyclines แต่ละชนิด	230
ตารางที่ 11.3	แนวทางการตรวจการบันทึกภาพหัวใจด้วยคลื่นความถี่สูง (echocardiogram) หรือ MUGA scan	232
ตารางที่ 11.4	ชนิดและอุบัติการณ์ของโรคมะเร็งชนิดที่สองในผู้รอดชีวิตจากโรค ALL ในวัยเด็ก	234



สารบัญภาพ

หน้า

ภาพที่ 2.1	สเมียร์ไขกระดูกของผู้ป่วยโรค ALL พบ L1 lymphoblast	15, A1
ภาพที่ 2.2	สเมียร์ไขกระดูกของผู้ป่วยโรค ALL พบ L2 lymphoblast	16, A1
ภาพที่ 2.3	สเมียร์ไขกระดูกของผู้ป่วยโรค ALL พบ L3 lymphoblast	17, A2
ภาพที่ 2.4	สเมียร์ไขกระดูกของผู้ป่วยโรค AML M1 subtype	19, A2
ภาพที่ 2.5	สเมียร์ไขกระดูกของผู้ป่วยโรค AML M2 subtype	21, A3
ภาพที่ 2.6	สเมียร์ไขกระดูกของผู้ป่วยโรค AML M3 subtype	21, A3
ภาพที่ 2.7	สเมียร์ไขกระดูกของผู้ป่วยโรค AML M3 variant subtype	22, A4
ภาพที่ 2.8	สเมียร์ไขกระดูกของผู้ป่วยโรค AML M4 subtype	23, A4
ภาพที่ 2.9	สเมียร์ไขกระดูกของผู้ป่วยโรค AML M4Eo subtype	23, A5
ภาพที่ 2.10	สเมียร์ไขกระดูกของผู้ป่วยโรค AML M5a subtype	25, A5
ภาพที่ 2.11	สเมียร์ไขกระดูกของผู้ป่วยโรค AML M5b subtype	25, A6
ภาพที่ 2.12	สเมียร์ไขกระดูกของผู้ป่วยโรค AML M6 subtype	26, A6
ภาพที่ 2.13	สเมียร์ไขกระดูกของผู้ป่วยโรค AML M7 subtype	26, A7
ภาพที่ 2.14	สเมียร์เลือดของผู้ป่วยโรค CML	27, A7
ภาพที่ 2.15	สเมียร์เลือดของผู้ป่วยโรค JMML	28, A8
ภาพที่ 2.16	สเมียร์ไขกระดูกของผู้ป่วยโรค AML M2 subtype แสดงผลบวกของ MPO	29, A8
ภาพที่ 2.17	สเมียร์ไขกระดูกของผู้ป่วยโรค AML M4 subtype แสดงผลบวกต่อการย้อมด้วย combined esterases	30, A9
ภาพที่ 2.18	สเมียร์ไขกระดูกของผู้ป่วยโรค AML M5 subtype แสดงผลบวกต่อการย้อมด้วย combined esterases	31, A9
ภาพที่ 2.19	สเมียร์ไขกระดูกของผู้ป่วยโรค ALL L1 subtype แสดงผลบวกต่อการย้อมด้วย PAS	31, A10
ภาพที่ 2.20	ผลการตรวจจิมมูโนฟีโนทัยป์โรค B lineage ALL	36, A11
ภาพที่ 2.21	ผลการตรวจจิมมูโนฟีโนทัยป์โรค T lineage ALL	37, A11
ภาพที่ 2.22	ผลการตรวจจิมมูโนฟีโนทัยป์โรค AML	37, A11
ภาพที่ 3.1	(ก) จำลองรูปร่างของโครโมโซมที่ 9 แสดงตำแหน่งของ centromere แขนข้างสั้น (p arm) และแขนข้างยาว (q arm) (ข) karyotype ของคนปกติ เพศหญิง (46,XX)	46
ภาพที่ 3.2	Karyotype แสดง t(9;22)(q34;q11.2) ที่ตรวจพบในผู้ป่วยโรค CML	49
ภาพที่ 3.3	Karyotype แสดง t(8;21)(q22;q22) ที่ตรวจพบในผู้ป่วยโรค AML M2 subtype	50
ภาพที่ 3.4	Karyotype แสดง t(15;17)(q24;q21) ที่ตรวจพบในผู้ป่วยโรค APL หรือ AML M3 subtype	50



โรคมะเร็งเม็ดเลือดขาวในเด็ก Childhood Leukemia

ภาพที่ 3.5	Karyotype แสดงความผิดปกติเชิงปริมาณของโครโมโซมแบบ 47,XY,+8	51
ภาพที่ 3.6	เทคนิค FISH เพื่อตรวจหา t(9;22)(q34;q11.2) ในผู้ป่วยโรค CML	55, A10
ภาพที่ 4.1	เทคนิค multiplex RT-PCR เพื่อตรวจหายีนลูกผสมชนิดต่างๆ ในผู้ป่วยโรคมะเร็งเม็ดเลือดขาว	62, A12
ภาพที่ 4.2	องค์ประกอบของ qRT-PCR ด้วยเทคโนโลยี FRET และ Taqman hybridization probe	63, A13
ภาพที่ 4.3	ผลการตรวจติดตามปริมาณยีนลูกผสม <i>BCR-ABL1</i> ในผู้ป่วยโรค CML	64, A13
ภาพที่ 4.4	ตัวอย่างผลการตรวจหาการกลายพันธุ์ของยีนลูกผสม <i>BCR-ABL1</i> ด้วยเทคนิค Sanger DNA sequencing (ก) ตรวจพบการกลายพันธุ์ที่ตำแหน่ง T315I และ (ข) การตรวจพบการกลายพันธุ์ที่ตำแหน่ง E255V	65, A14
ภาพที่ 4.5	การกระจายของการกลายพันธุ์ของยีนลูกผสม <i>BCR-ABL1</i> ชนิดต่างๆ ที่ตรวจพบในผู้ป่วยโรค CML	66, A15
ภาพที่ 4.6	การตรวจหาการกลายพันธุ์ของยีน <i>JAK2 V617F</i> ในผู้ป่วย Ph negative MPN	67, A15
ภาพที่ 4.7	ตัวอย่างผลการตรวจวิเคราะห์เพื่อหาการกลายพันธุ์ของยีน <i>FLT3</i> ด้วยเทคนิค PCR-RFLP	69
ภาพที่ 4.8	ผลการตรวจวิเคราะห์เพื่อหาการกลายพันธุ์ของยีน <i>NPM1</i> ที่บริเวณ exon 12 โดยใช้วิธี PCR based fragment analysis (capillary electrophoresis)	71
ภาพที่ 4.9	ลำดับเบสบางส่วนของผู้ป่วยที่ไม่มีการเปลี่ยนแปลงลำดับเบสของยีน <i>CEBPA</i>	73, A16
ภาพที่ 4.10	ลำดับเบสบางส่วนของผู้ป่วยที่มีการเปลี่ยนแปลงลำดับเบสของยีน <i>CEBPA</i> โดยมีการเปลี่ยนแปลงลำดับเบส 1 เบส แต่การเปลี่ยนแปลงนี้สามารถพบได้ในคนปกติ	73, A16
ภาพที่ 4.11	ลำดับเบสบางส่วนของผู้ป่วยที่มีการเปลี่ยนแปลงลำดับเบสของยีน <i>CEBPA</i> โดยมีการเพิ่มของลำดับเบส 6 เบส แต่การเปลี่ยนแปลงนี้สามารถพบได้ในคนปกติ	74, A17
ภาพที่ 4.12	ลำดับเบสบางส่วนของผู้ป่วยที่มีการกลายพันธุ์ของยีน <i>CEBPA</i> โดยมีการเพิ่มของลำดับเบส 3 เบส	74, A17
ภาพที่ 4.13	ลำดับเบสบางส่วนของผู้ป่วยที่มีการกลายพันธุ์ของยีน <i>CEBPA</i> โดยมีการขาดหายของลำดับเบส 2 เบส	75, A18
ภาพที่ 5.1	สเมียร์เลือดของผู้ป่วยโรค ALL	84, A18
ภาพที่ 5.2	สเมียร์ไขกระดูกของผู้ป่วยโรค ALL	86, A19
ภาพที่ 6.1	สเมียร์เลือดของผู้ป่วยโรค AML	117, A19
ภาพที่ 7.1	สเมียร์เลือดของผู้ป่วยโรค CML	155, A20
ภาพที่ 8.1	สเมียร์เลือดของผู้ป่วยโรค JMML	175, A20
ภาพที่ 9.1	กระบวนการแปรรูปของยา 6-mercaptopurine	184
ภาพที่ 9.2	กระบวนการแปรรูปของโฟเลตและยา methotrexate	191
ภาพที่ 9.3	กระบวนการแปรรูปของยา cytarabine	196